

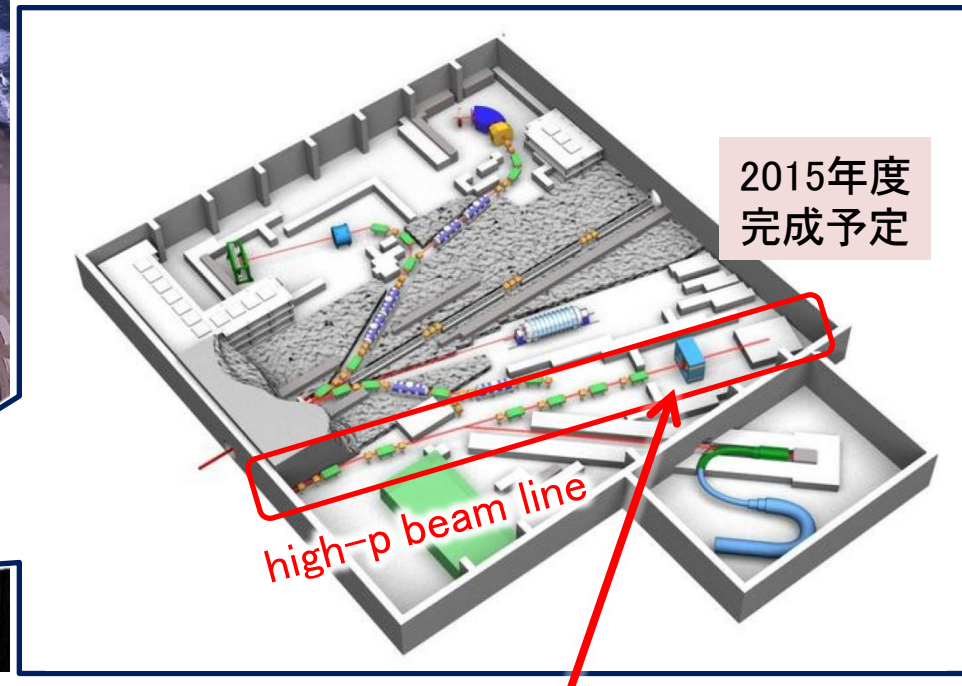
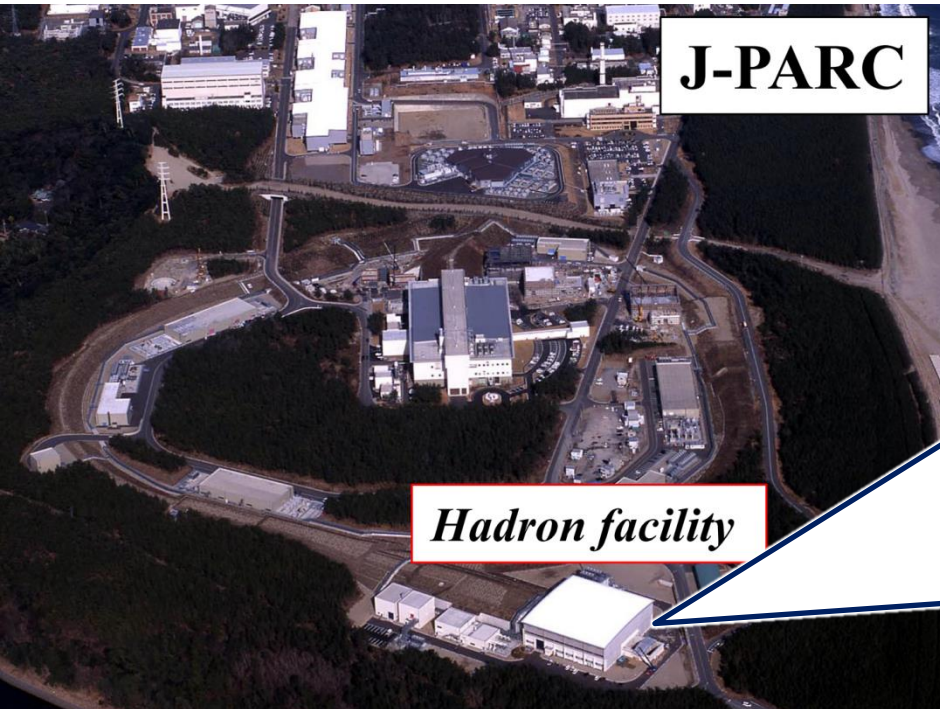
J-PARC E16実験(とE50実験)における データ読出・収集システム

高橋智則(大阪大RCNP)

内容

- J-PARC E16実験
 - 検出器
 - 計測システムのR&D
- J-PARC E50実験
 - 検出器、計測システムの検討

J-PARC high momentum beam line



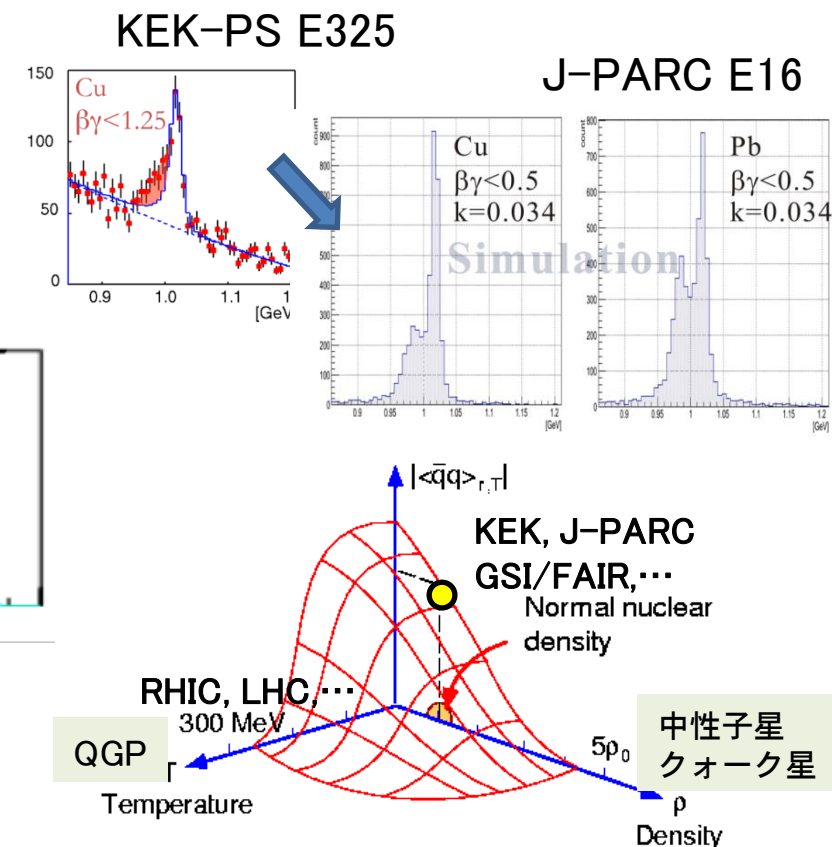
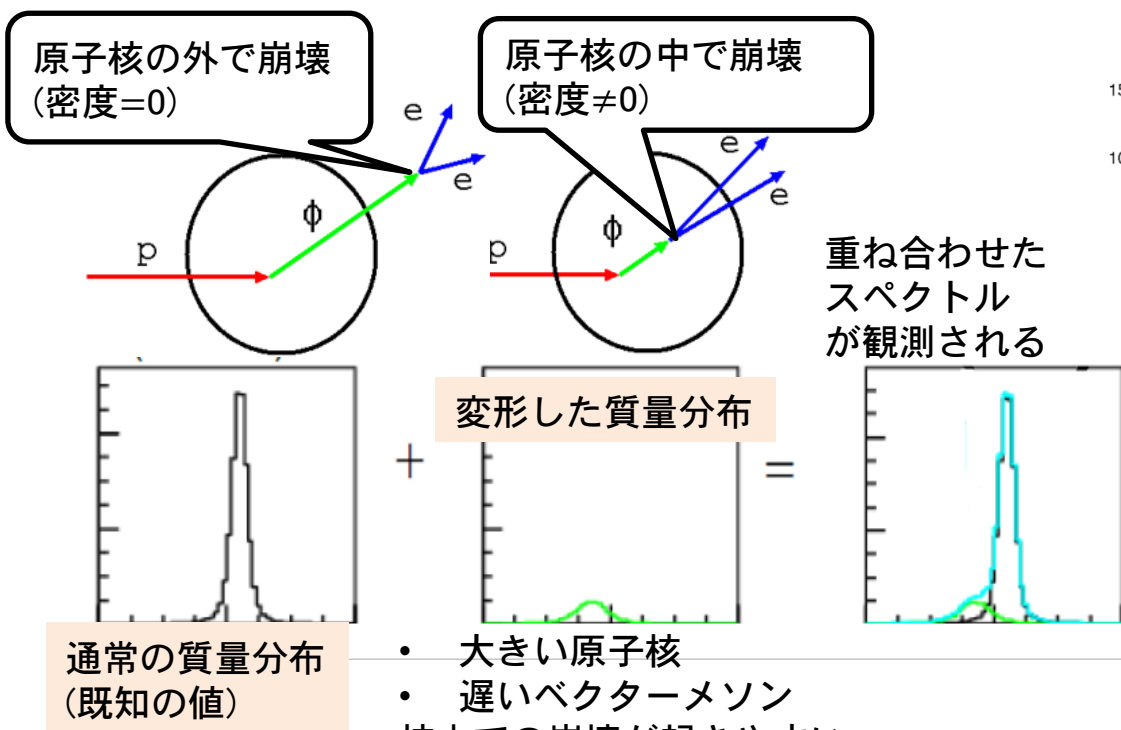
- J-PARC MRからの1次陽子ビームの一部(全部)を分岐させて取り出す。
- spill 2 sec. beam-ON / 6 sec. cycle
- proton :
 - Max. 30 GeV $\sim 10^{10}$ /sec
 - E16実験 2016～
- π (unseparated):
 - Max. 20 GeV $\sim 10^7$ /sec
 - E50実験 2019～

スペクトロメーター用双極電磁石



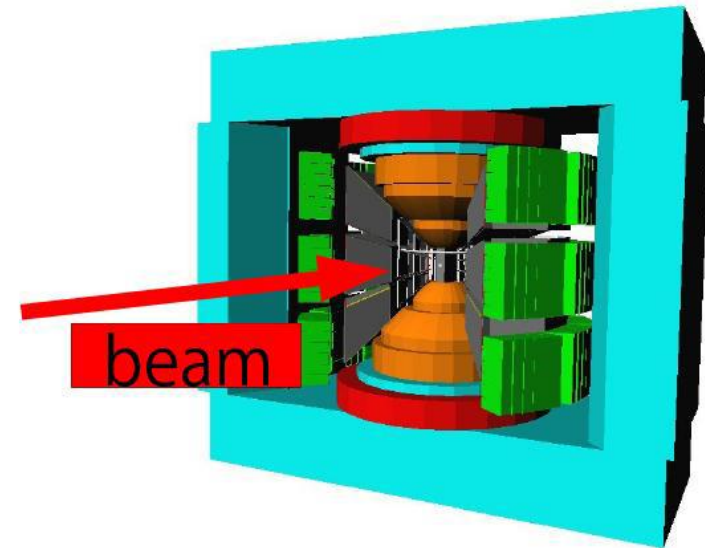
J-PARC E16実験

- 原子核中でのベクターメソン(ρ, ω, ϕ)の質量を測り、質量分布の変化を系統的に調べる
 - e^+e^- 崩壊チャンネルで不变質量を測定
 - さまざまな原子核標的(H, C, Cu, Pb, …)、ベクターメソンの運動量依存性(分散関係)、…
- 質量変化 $\Leftrightarrow |\langle \bar{q}q \rangle| \Leftrightarrow$ カイラル対称性の破れの回復度合いの定量的な関係を導き出す
- QCD真空の理解・ハドロン質量起源の解明に貢献



E16スペクトロメーター概要とトリガー

- 標的内での γ conversionからのbackgroundを減らすため薄い標的を使用
 - 複数枚(それぞれ違う核種)の標的を並べてビームで串刺し
 - $O(10^{10})\text{Hz}$ の大強度ビームで薄さを克服 $\rightarrow O(10^7)\text{Hz}$ interaction rate
- 運動量測定
 - $\Delta p/p \sim 1\%$ for $1\text{GeV}/c$ electron $\rightarrow \sigma_x = 100\mu\text{m}$
 - GEMトラッカー (GTR) 56160 strips
- e^+e^- を同定
 - hadron backgroundを 10^{-4} に減らす
 - Hadron Blind Detector (HBD) 35880 pads
 - 鉛ガラスEM CAL (LG) 988PMTs



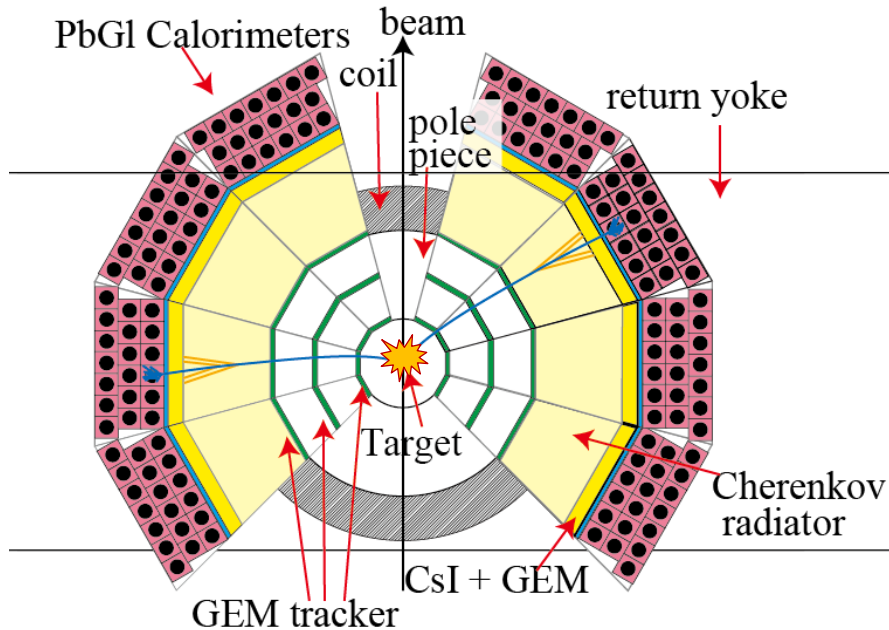
Level-1 trigger:

- GTR(624ch) x HBD(936ch) x LG(988ch)
trigger segmentの3重コインシデンス
AND
- e^+e^- hitのopening angle $> 60^\circ$

Background process
(small opening angle)

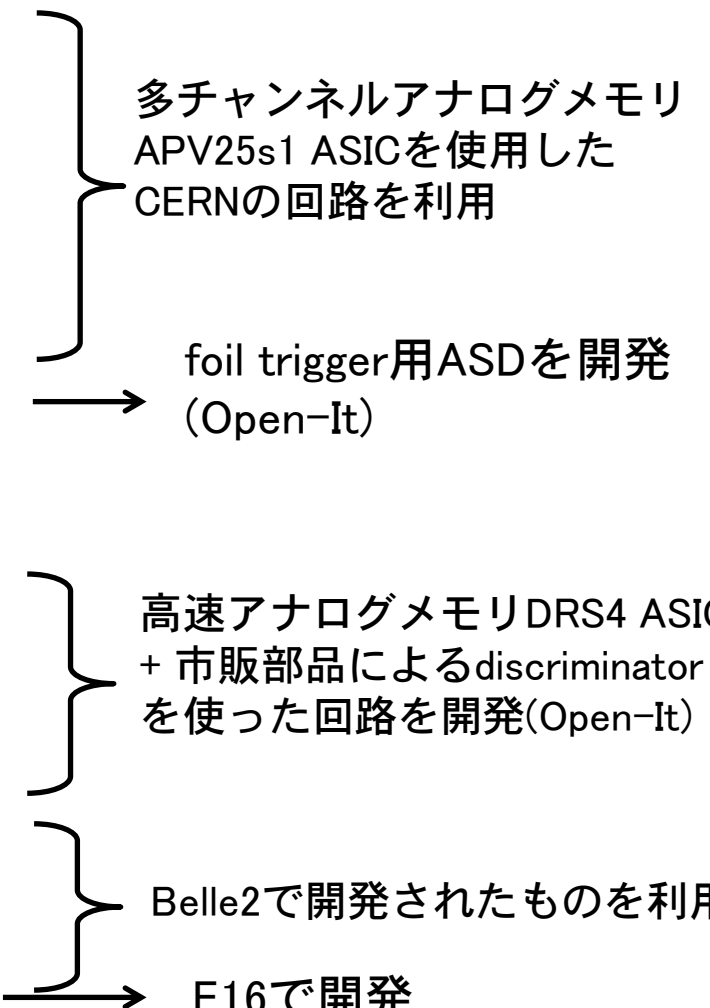
- π^0 Dalitz decay
 $\pi^0 \rightarrow e^+e^-\gamma$
- γ -conversion
 $\pi^0 \rightarrow 2\gamma$
 $\gamma \rightarrow e^+e^-$

interaction $O(10^7)$ Hz
↓
trigger 1–2 kHz

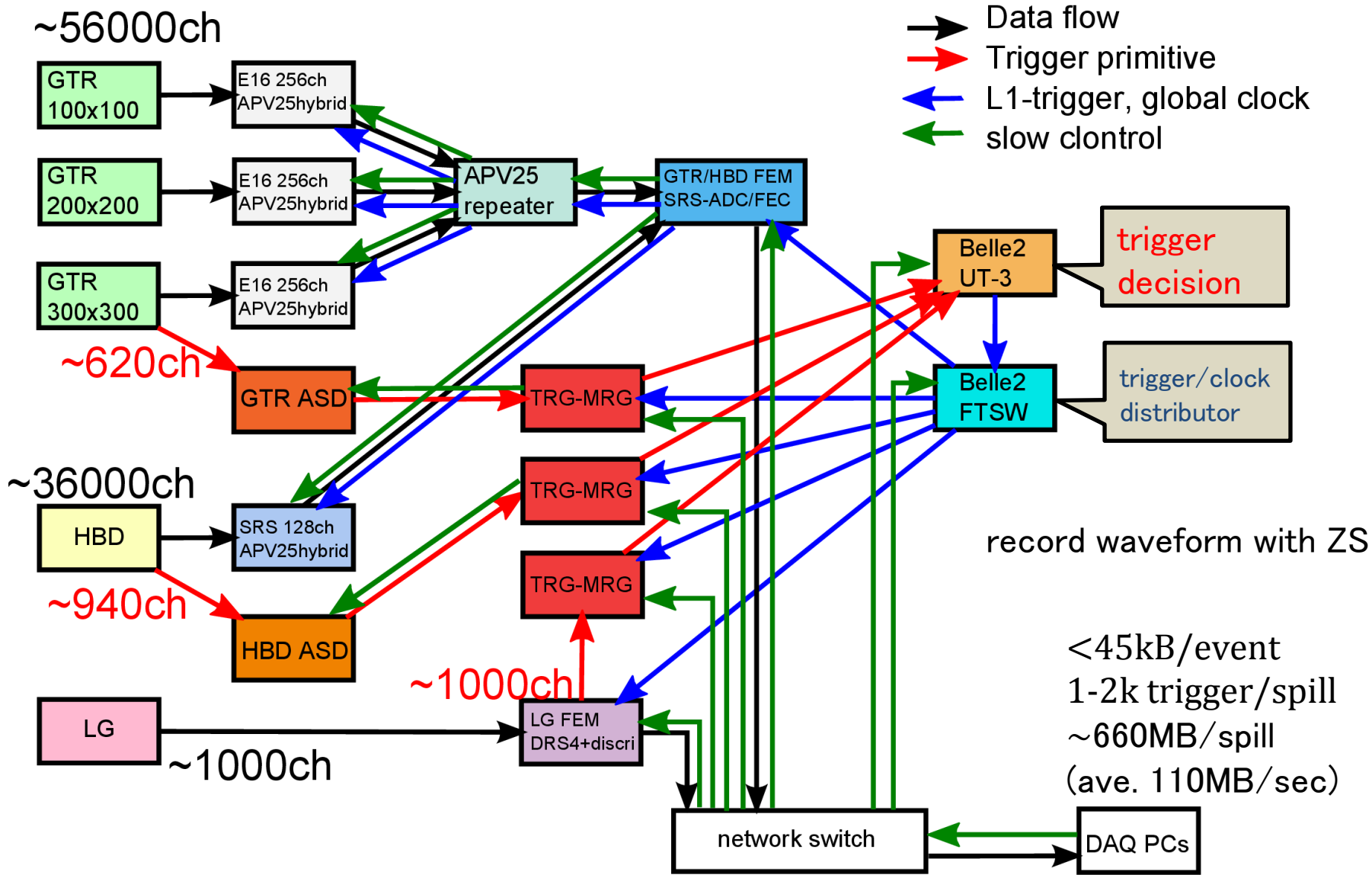


回路への要求

- KEK-PS時代はTKOを使っていたが性能・保守に限界
- 少ないマンパワー・少ない予算で準備
 - 他の実験で使用されている・実績のある要素を組み合わせる
- GEM用回路
 - 波形がほしい
 - 電荷情報と時間情報が取れる
 - pile upの除去
 - コンパクト
 - 回路設置可能な空間が狭い
 - multiplexer(シリアル)出力付
 - 信号伝送ケーブルの物質量を減らしたい
 - トリガー用のfast outが取れる
 - (GTR, HBD共通化できるとよい)
- LG用回路
 - delay cableを駆逐したい
 - 波形が読めるとよい
 - pile up除去, baseline補正
 - トリガー用のfast outが取れる
- 時刻同期・イベント同期
 - クロック・トリガータグ分配器
- トリガー作成用に大規模汎用ロジック回路
- パラレル→シリアル変換 +高速光通信回路



E16計測システム概要

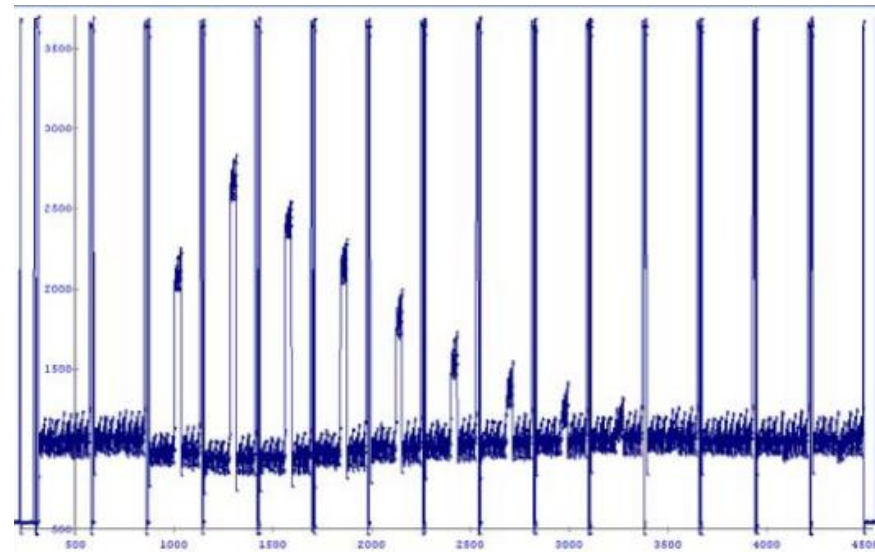
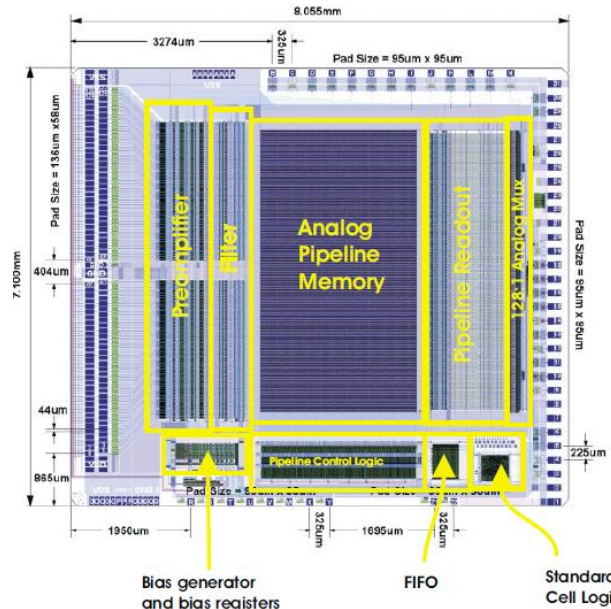
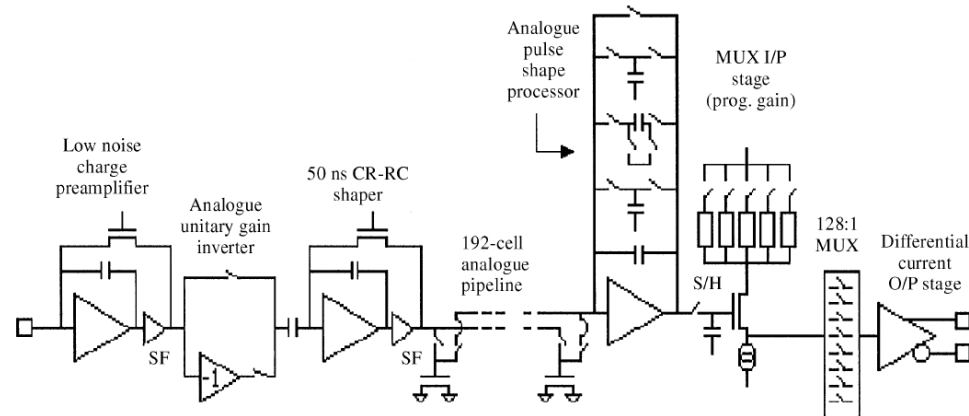


FEM: Frontend Electronics Module

APV25s1

Analog Pipeline [Voltage-mode] in 0.25 μm silicon CMOS technology

- LHC-CMS silicon tracker
 - CMS L1 trigger 100kHz
- 128 ch input
- input range
 - <20fC (VSS=-1.25V, VDD=+1.25V)
 - <40fC (VSS=0V, VDD=2.5V)
- preamp ~50ns peaking (programmable)
- 3 operating modes (deconv., peak, **multi**), 40MSPS
- 192 cell analog pipeline memory (160 write, 32 read)
FIFO length $\sim 4\mu\text{s}$
- **128:1 AMUX**
- ENC: $270 + 38/\text{pF} \rightarrow \sim 1500\text{e}$ for 30cm readout strip
- Output driver: up to $\sim 12\text{m}$
- $\sim 350\text{mW}/\text{chip}$



RD51 and SRS

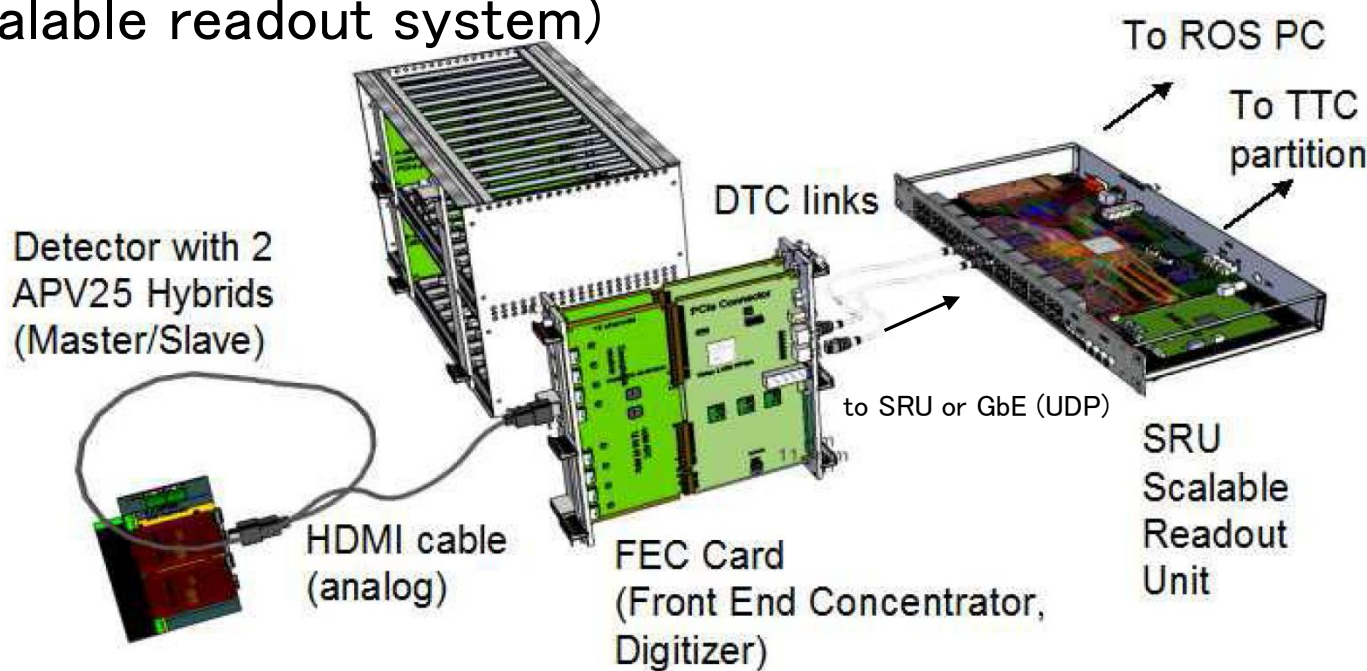
RD51 collaboration organized by CERN

<http://rd51-public.web.cern.ch/rd51-public/>

World wide MPGD collaboration

- WG1: technological aspects and development of new detector structures
- WG2: characterization and physics issues
- WG3: applications
- WG4: simulations and software tools
- **WG5: electronics**
- WG6: test facilities

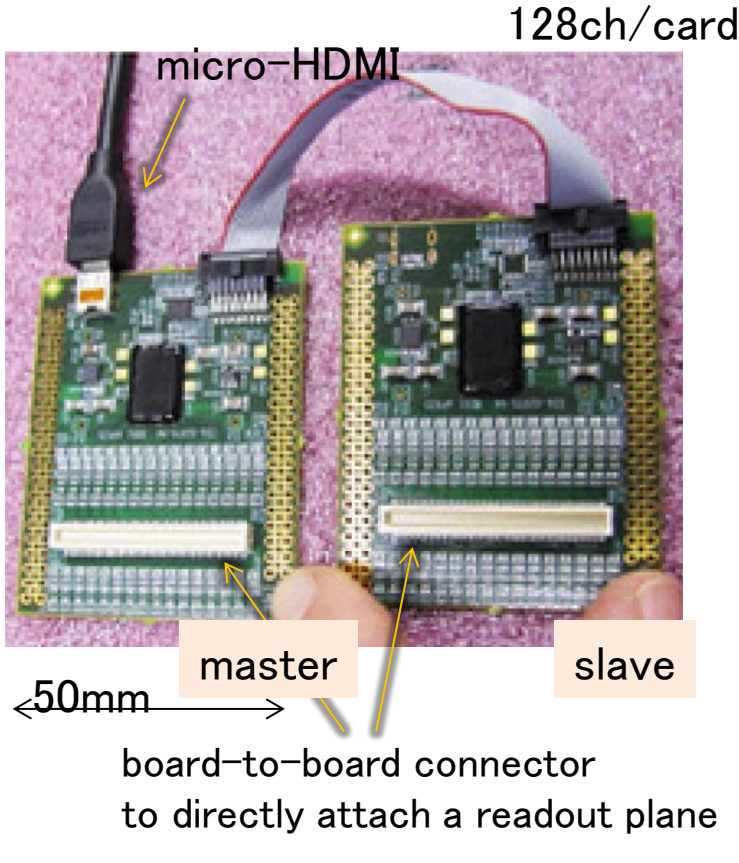
SRS (scalable readout system)



APV25 hybrid card

東大中井
e-sys池野
TNT

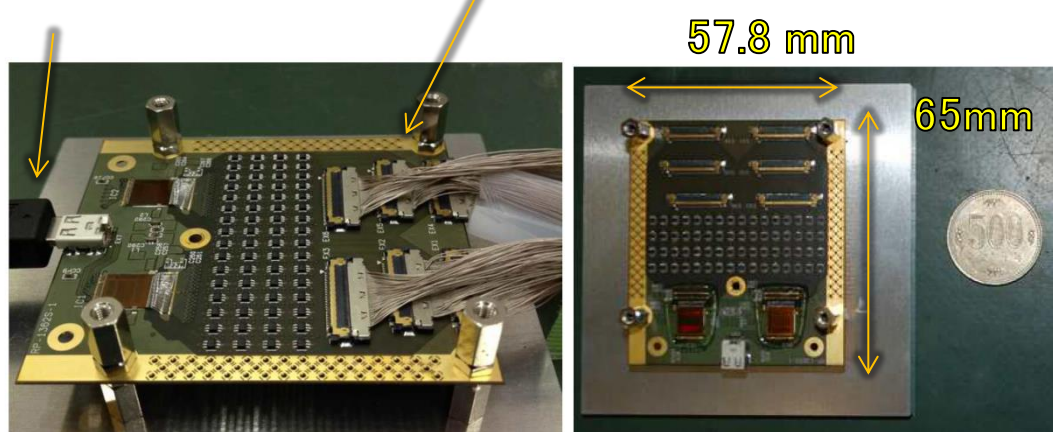
SRS-APV-hybrid card
E16ではHBDに使用



TRK-APV hybrid cardをE16 GTR用に開発

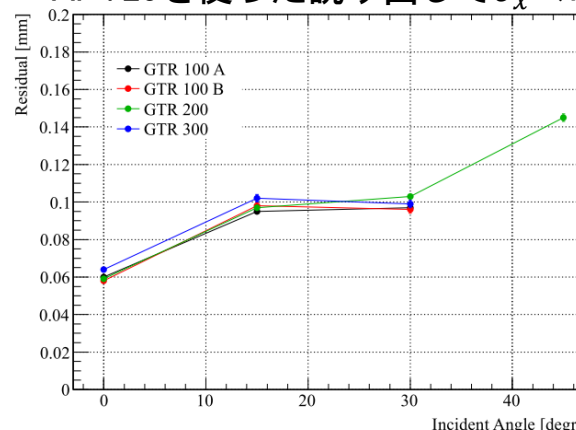
256ch/card
FPC 8layers
micro-HDMI

KEL-XSL
micro-miniature coaxial cable
(100–300mm length to GEM)



3種類の大きさのGEM trackerのいづれにおいても
APV25を使った読み出しで $\sigma_x < 100 \mu\text{m}$ を確認

(beam test @ K1.1BR)



HDMI-1.4 cable

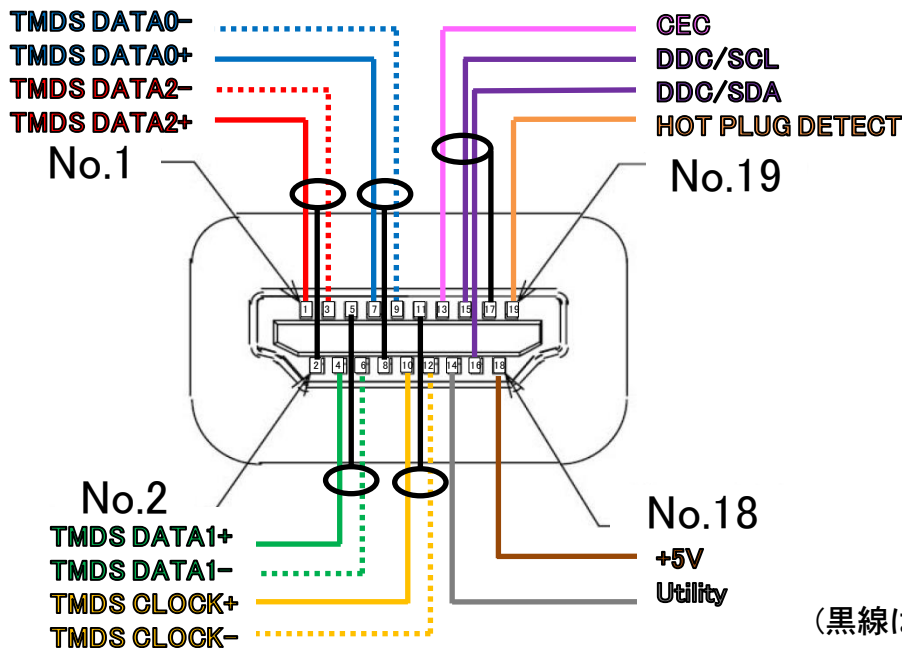
- **高速差動信号線 4 pair**
 - TMDS CLOCK, TMDS DATA (TMDS: Transition Minimized Differential Signaling)
 - clock 340MHzごとにR/G/B線にそれぞれ10bitを送信→**3.4Gbps/lane**
 - ケーブルインピーダンス100Ω
- **シングルエンド信号線 3+**
 - CEC (Consumer Electronics Control): 周辺機器制御ライン
 - DDC (Display Data Channel): ディスプレイ情報の読み出しの**I2C通信**・HDCP認証動作
- HPD (Hot plug detect): HDMI Rxが接続されていることをHDMI Tx側が検出するのに使用
- HPDとUtilityを差動ペアとして使った双方向全二重の100Base-TX(HEC: HDMI Ethernet Channel)
- 電源 +5V
- シールド付ケーブル (高額なものは何重にも)

注意:

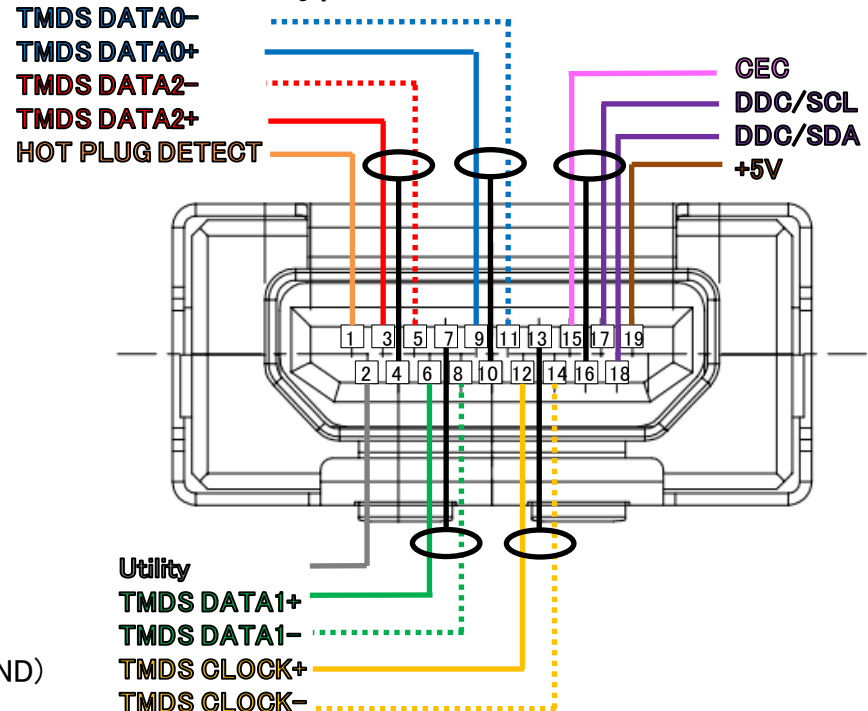
- type-Dコネクタ(micro-HDMI)はtype-Aコネクタの縮小版ではない。ピンアサインが違う。
- equalizer入りケーブル(active cable)だとデータ伝送の方向が決まっていて自由に使えない。

SRSではAPV25との接続において、
差動4 pairライン
 • 差動アナログ出力 2 pair
 • LVDS clock input
 • LVDS trigger input
 CEC, DDC ライン
 • slow control (I2C), reset
 HPD, Utility, +5V ライン
 • 電源供給
 として使用

type-A male



type-D (micro-HDMI) male



SRS (classic)

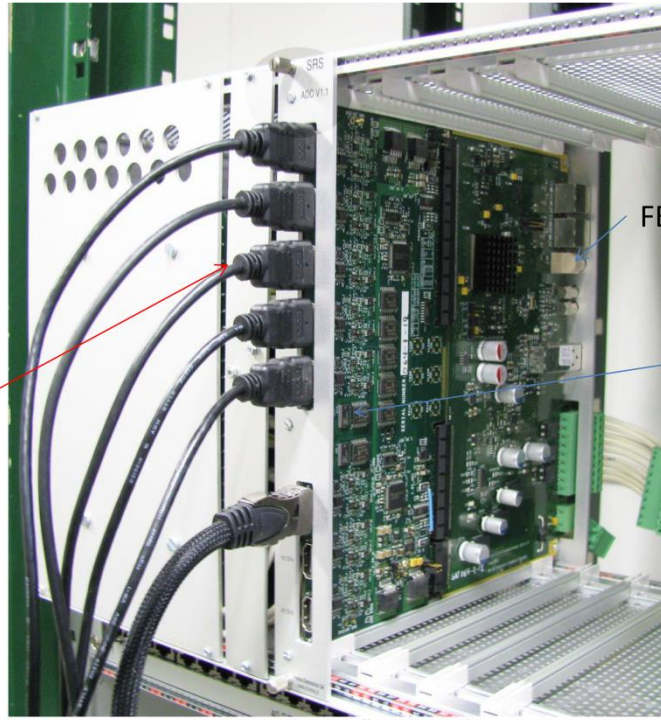


16ch ADC
ADS5281 x2
12bit, 40MSPS
equalizer

PCIe board-to-board connector

16 APV=2048 chを
1 ADC-FEC comboで読み出し可能

Up to 8 HDMI
chiplinks per
Adapter card



FEC-V3

- FPGA: Virtex-5
- DDR2 256MB
- SFP x1 for GbE
- trigger, clock I/F

LEMO
Twinax (clock)
RJ45

- 6U
- no backplane
- ATX PS unit



FEC-V6

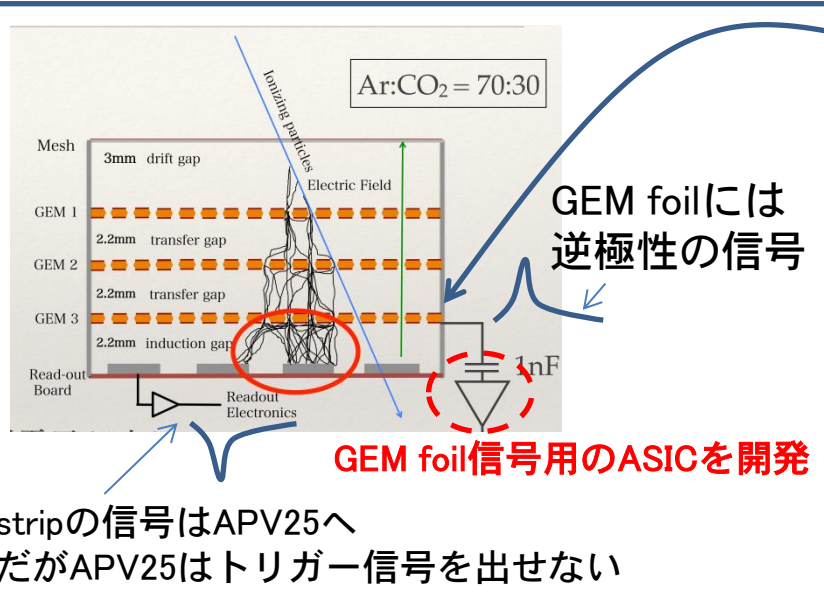
- FPGA: Virtex-6
- DDR3 ~GB(plug-in)
- SFP x2 for GbE
- trigger, clock I/F

LEMO
Twinax (clock)
RJ45

Zero-suppression is implemented.
It works, but ...

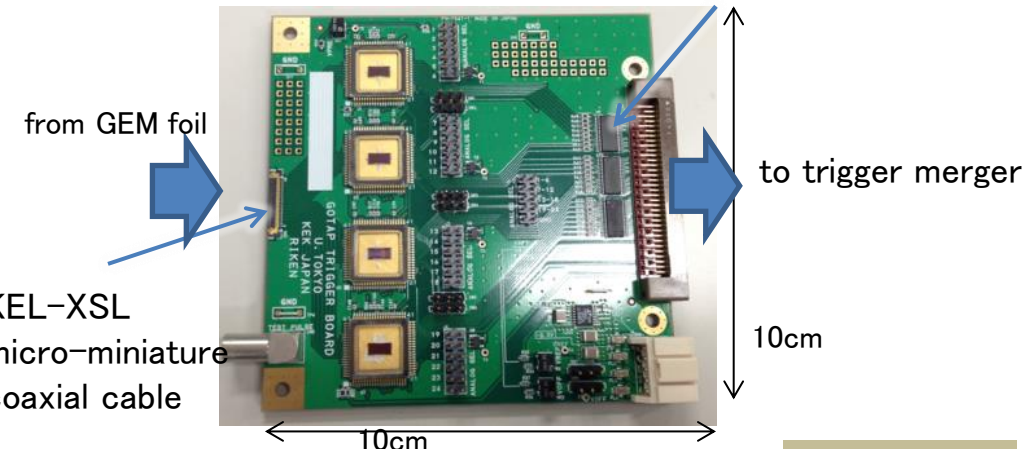
GEM foil trigger用ASD ASIC

東大小原, KEK-IPNS 森野
e-sys 田中, 池野

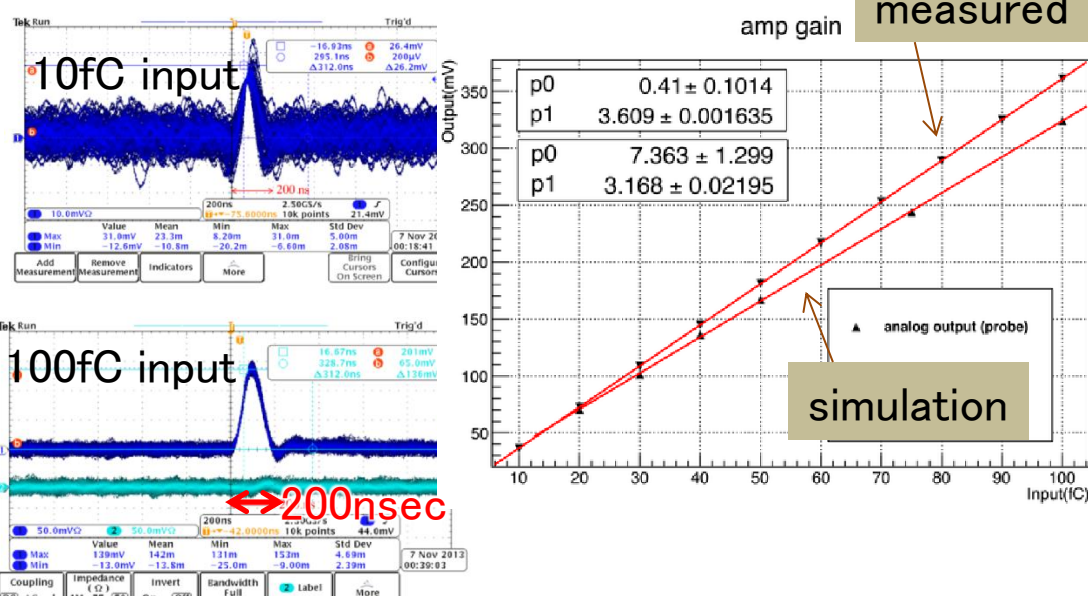


300x300 mm² foilを24個に分割 (2nF/segment)

24ch GEM foil ASD card LVDS driver

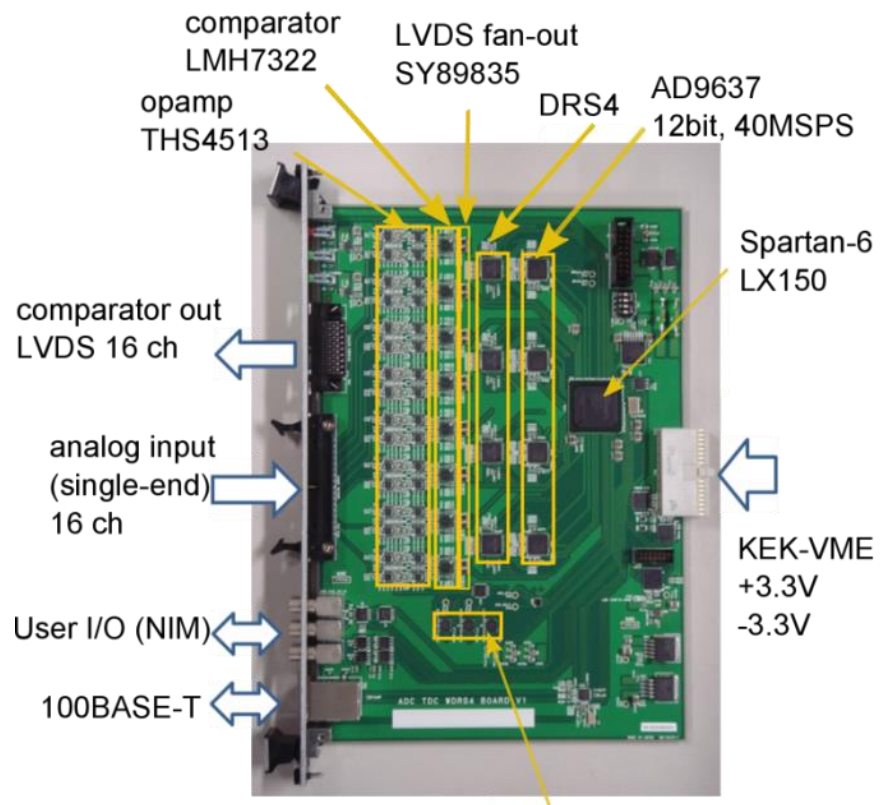
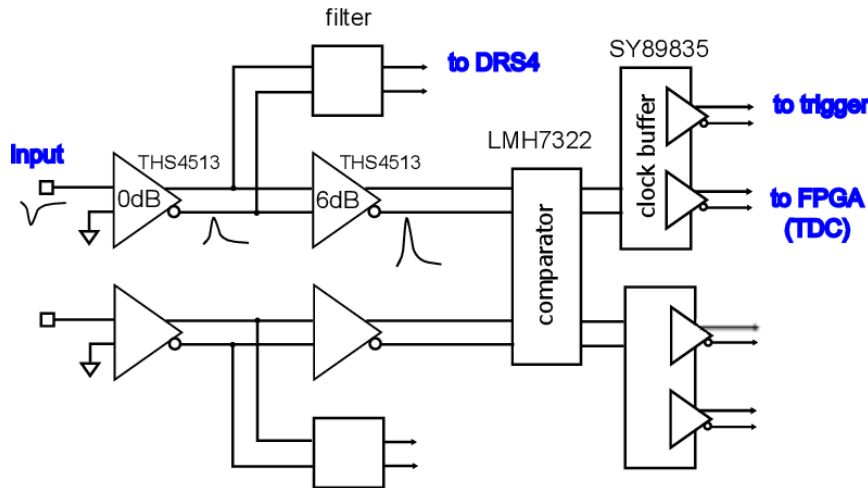


parameter	value
Number of channels	6 ch/chip
Input range	10fC – 1pC
Shaper time constant	25 nsec
Pulse width	< 200 nsec
Conversion gain	3.2 mV/fC
ENC	20000 (@ C _d = 2nF)
Power supply	+2.5V/0.1A, -2.5V/0.1A
output	analog 6ch, digital 6ch

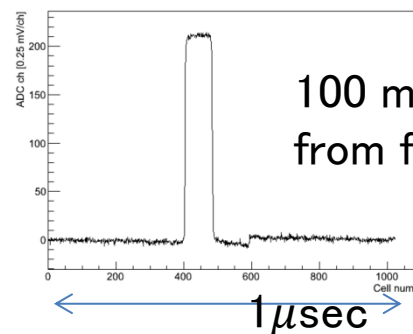


LG-FEM with DRS4 (prototype)

- input: single-ended 16 ch
- input range: -2 to 0V
- 2ch cascaded = 2048 cell
- 2–2.8 μ sec L1 trigger latency @0.7–1GSPS
- fast comparator to generate trigger primitive signals
- Vth control by on-board DAC
- 100Base-T (SiTCP)
 - TCP: readout
 - UDP: slow control
- Region-Of-Interest readout
- Wave Union TDC (planned)



12 bit DAC (bias, threshold)
LTC2656



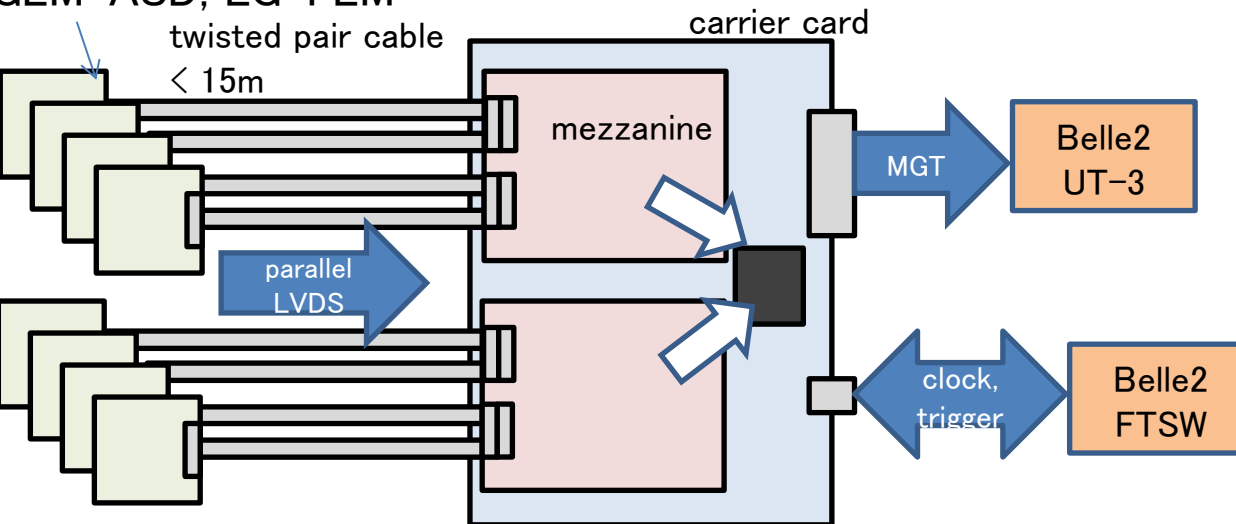
E16 TRG-MRG (trigger merger)

理研川間
TNT

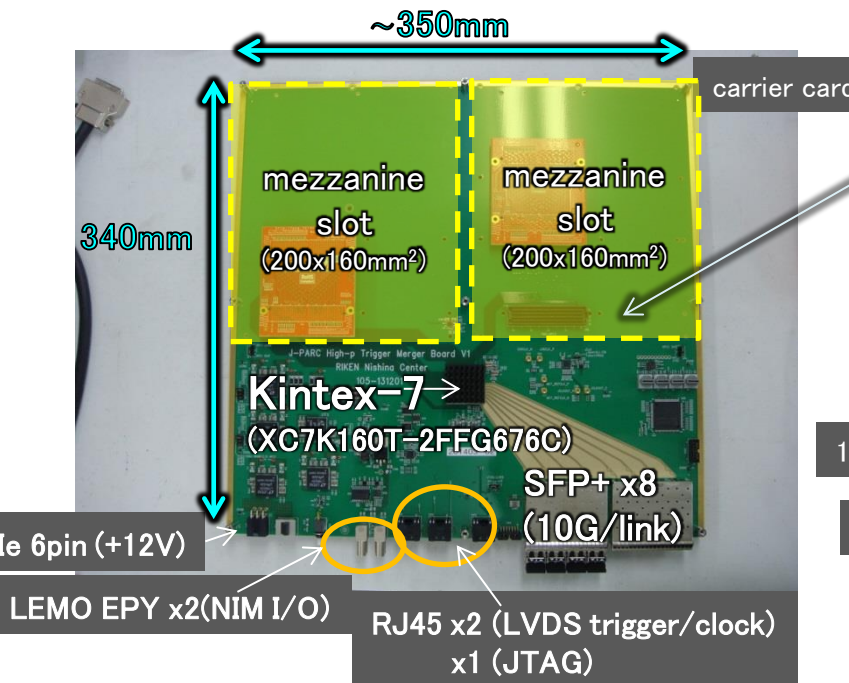
GEM-ASD, LG-FEM

twisted pair cable

< 15m



- Carrier card + mezzanine card x2
 - LVDS receiver mezzanine
 - GEM ASD slow control sub card
- GEM, LGのdiscri. out(LVDS)をFPGA内に構築したTDCでとりこむ
LSB \leq 4nsec
max. 256ch/TRG-MRG board
- 事象判定回路(UT-3)へTDCデータを高速光通信で送信
Aurora8b10b for 5Gbps
Aurora64b66b for 10Gbps



SEARAY 400pin (FMC VITA57)

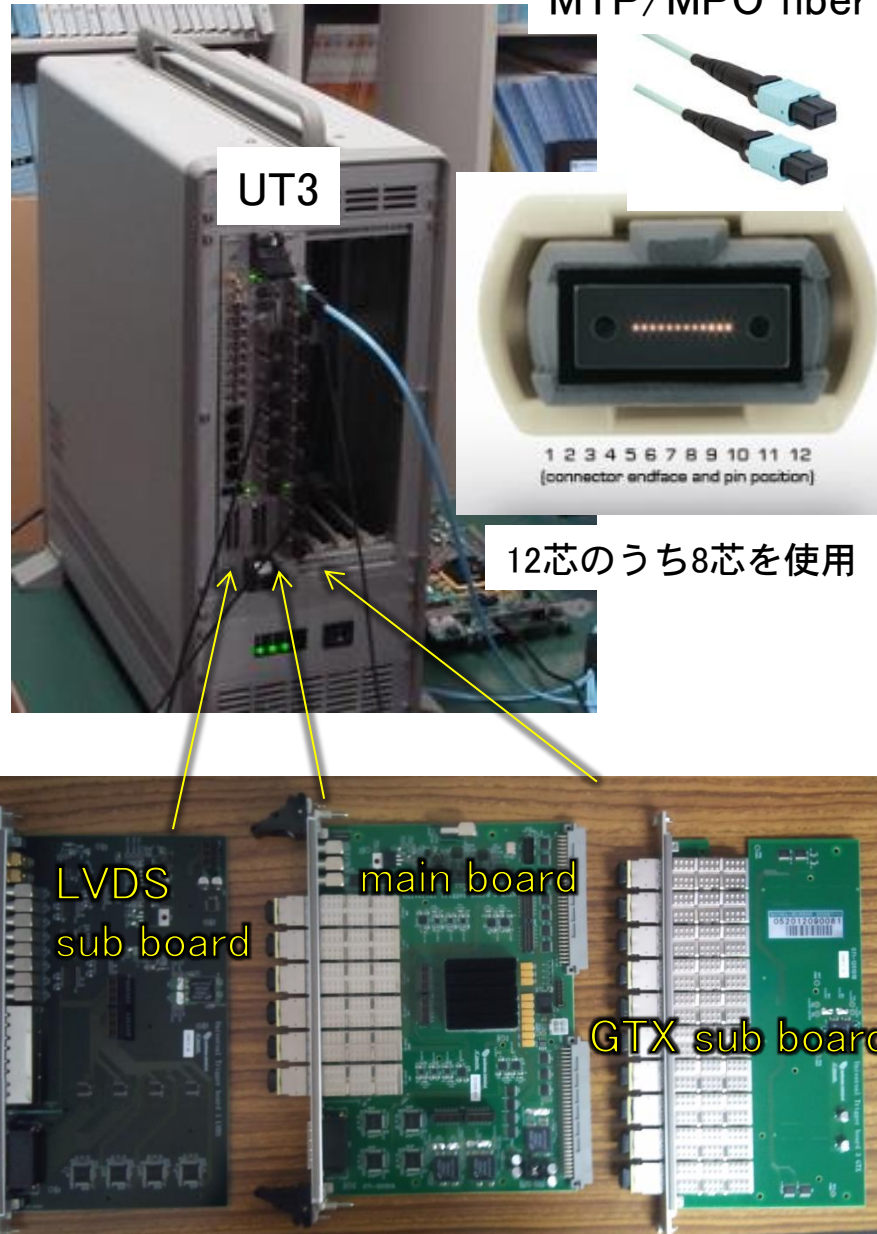
- user I/O 168pin
- GTX clock (Carrier-to-Mezzanine) x1 を各slotで使用



trigger decision module

Belle-II Universal Trigger Board3 (UT3)

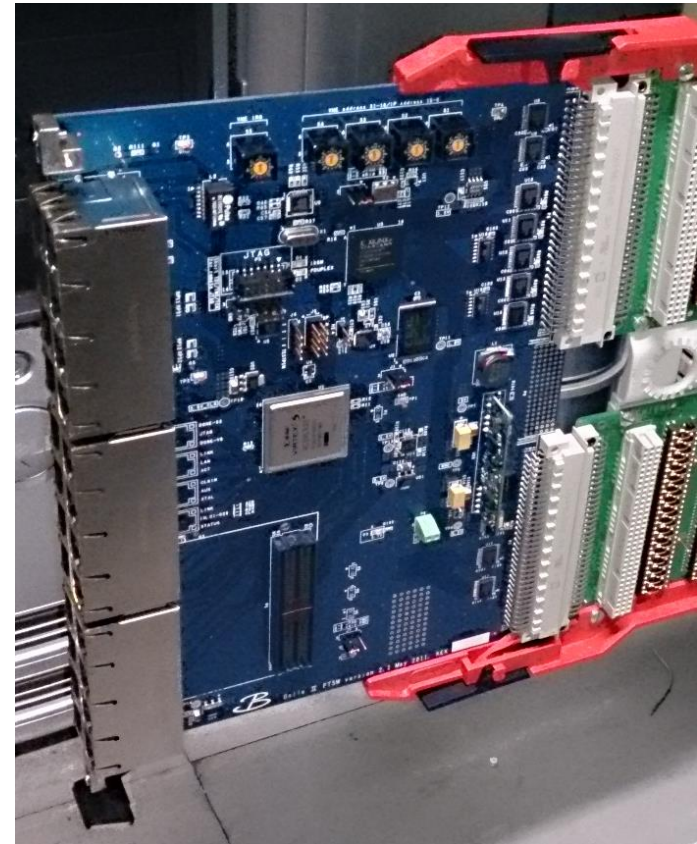
- VME-6U 3 slot
 - PS: +5V
 - Virtex-6 HX565T
 - QSFP MGT 64 links via MTP/MPO fibers
 - GTX x40(max. 6.6Gbps) on GTX sub board
 - GTH x24(max. 10Gbps) on main board
 - RJ45
 - trigger, clock I/F
 - NIM user I/O
 - in: 8ch, out: 8ch
 - dual stacked VHDCI
 - LVDS I/O: max. 128pair
- LVDS sub board



trigger/clock distribution module

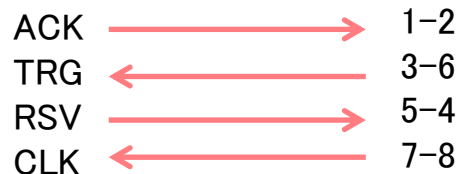
Belle-II FTSW (ver. 2.1)

- VME-6U 2slot
 - PS: +5V
- Virtex5 LX30 + Spartan3AN
- on-board clock: 127MHz
- RJ45 (dual stacked)
 - LVDS in x1, out x20
 - clock, trigger over a LAN cable (CAT-7)
 - < 30ps jitter with jitter cleaner
 - 8b10b encoded trigger data 254Mbps
 - JTAG on LVDS over a LAN cable
- slow control
 - via VME bus
 - via 100Base-T (planned)



LVDS clock/trigger out port

のLAN cable使用ピン



JTAG on LVDS

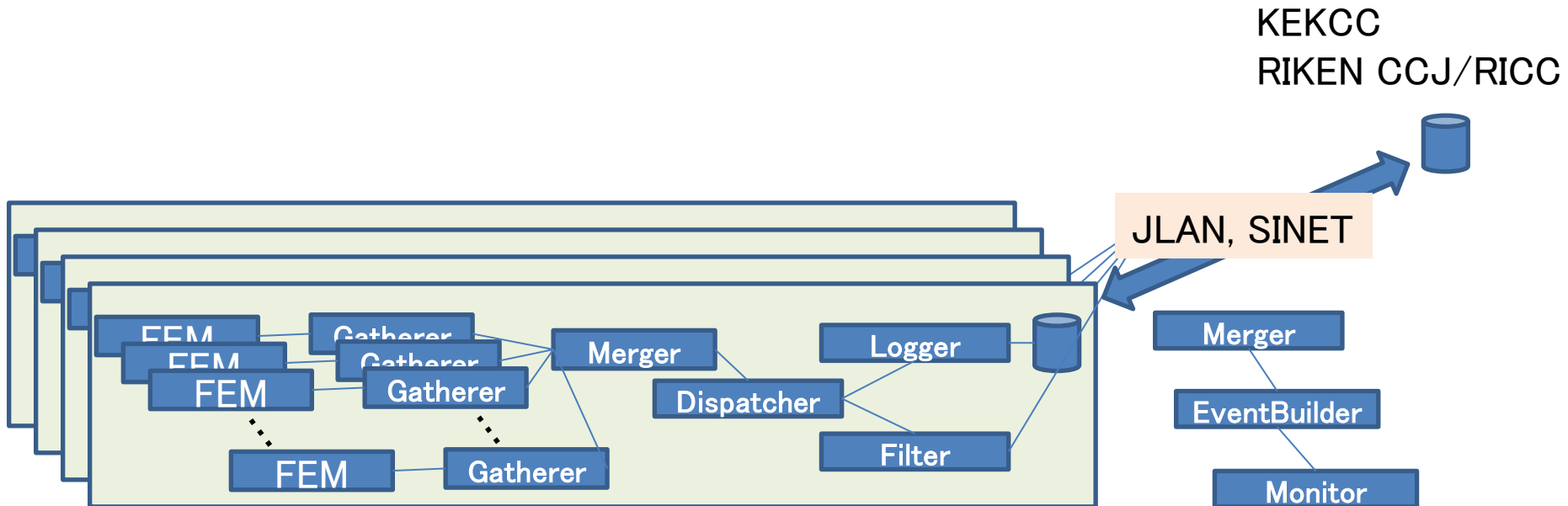
のLAN cable使用ピン



DAQ software

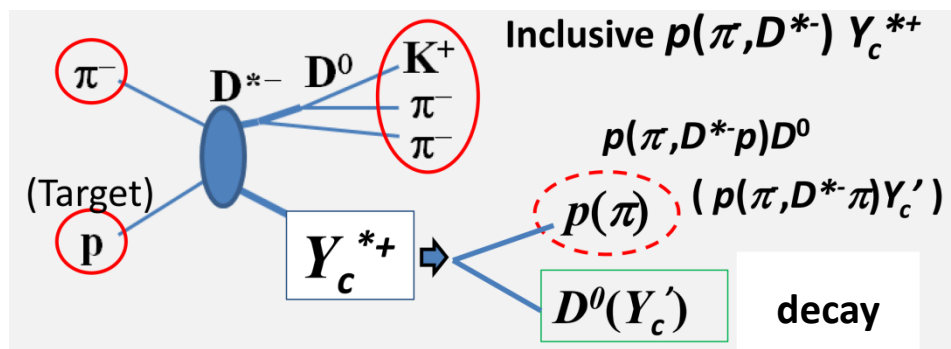
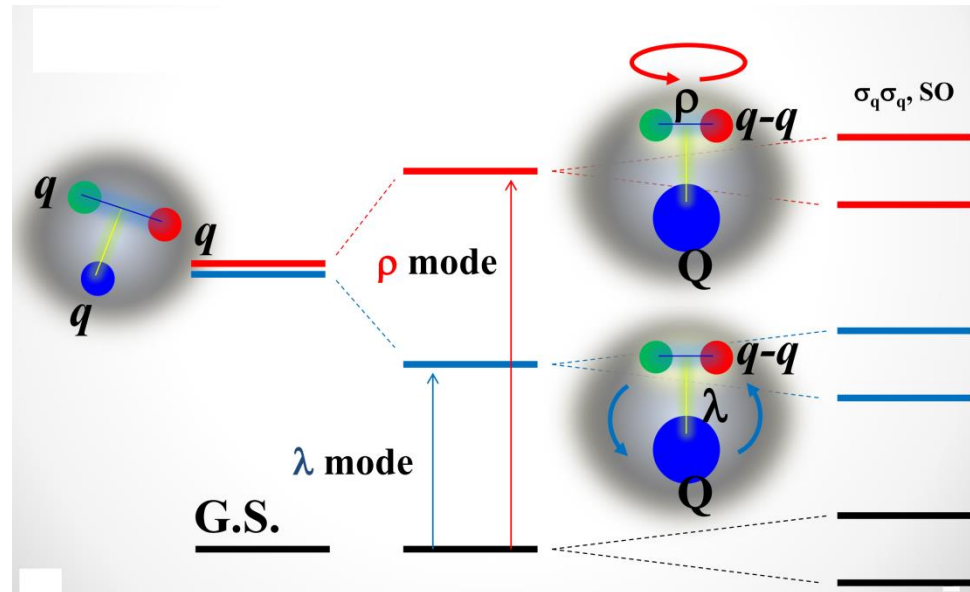
e-sys濱田,千代

- DAQ-Middlewareを使用
 - ネットワークベースのデータ収集システム
- GEM readout (RD51-SRS)用コンポーネントを開発(Open-It)
- LG readout用コンポーネントはこれから準備
- 一部のeventをonlineでevent buildしてモニターコンポーネントへ渡す
- 計測室のデータは定期的にKEKCC, RIKEN CCJ/RICCといった計算機クラスターへ転送

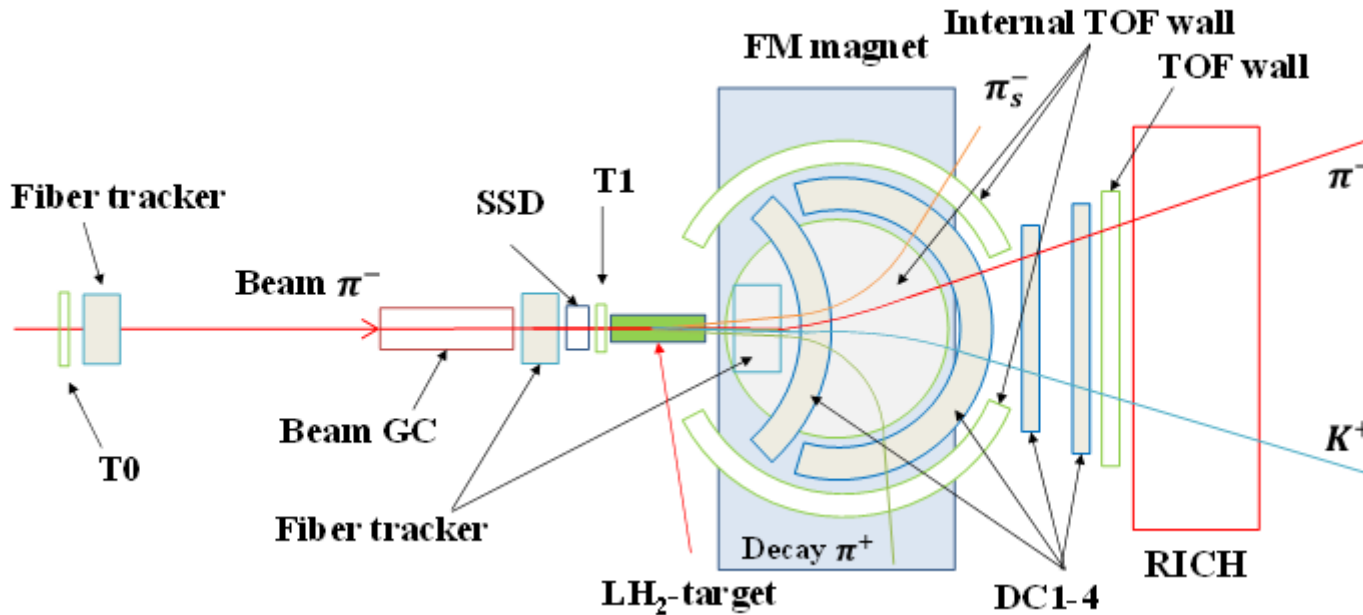


J-PARC E50実験

- ハドロンを記述するための自由度
 - constituent quark → 励起状態・エキゾチックハドロンの理解には不十分
 - **diquark**: カラーを持った2 quarkのcluster
- heavy quarkを含むバリオン
 - カラー磁気相互作用はクォークの質量に反比例して弱くなる
 - 残りの軽い2 quarkの相関が励起状態準位に現れる
 - λ mode, ρ mode
- charmed baryonの励起状態スペクトルの測定を通して diquarkにせまる



E50 spectrometer



- Large acceptance
 - D^* : 50–60%
 - decay particle: >80%
- Resolution
 - $\Delta p/p < 1\% \text{ (}0.2\% \text{ @ } 5\text{GeV}/c\text{)}$
- High rate
 - beam intensity: $6 \times 10^7 / \text{spill}$
 - event rate: 3M/spill
 - L1 trigger rate:
 - w/o online tracking: 160k/spill (80kHz)
 - w: online tracking: <30k/spill (<15kHz)

# of readout channels	
• Fiber tracker:	~9200
• Wire chamber:	~7500
• Beam RICH:	~260
• RICH (aerogel + C_4F_{10}):	~10000
• TOF:	~500
• (SSD):	~4000)
total: 27000–31000 ch	

E50読み出しシステムの検討

- Level-1 trigger rate:
 - charm: 10–80kHz (online trackingできるかに依存)
 - (strangeness: ~80 kHz(by-product), charmの実験とは別にbeam timeを要求?)
 - E16と同じトリガーモジュール (= Belle2のモジュール)が使えそう
 - デッドタイムの削減・パイプライン化必須
- Fiber tracker ~ 9200ch
 - 候補: MPPC + EASIROC + FPGA TDC (LSB=1ns)
- RICH ~ 10000 (+ beam line RICH ~260) ch
 - 候補: MPPC + EASIROC + FPGA TDC (LSB=1ns) (fiber trackerの回路と共通化したい)
- Wire chamber ~ 7500ch
 - 候補: Belle-II CDC用ASD + FPGA TDC (LSB=1ns)
 - RECBE, RAINERは高いと思うので低コスト版を作りたい
- TOF 450–500ch
 - 検出器候補: segmented plastic scintillator, MRPC(磁場中), diamond?
 - $\sigma < 100\text{ps}$ (検出器から回路まで含む) → 回路だけでなく検出器も含めたR&Dが必要
 - target近傍はhigh rate (3mmセグメントのシンチだと 3MHz/chのhigh rate)
 - 回路候補
 - HPTDC
 - FPGA HR-TDC (wave-union TDC): 原理は理解。実装のR&D→?
 - > 500MSPS waveform digitizer: FADC? パイプライン化された高速アナログメモリ?
- (SSD ~ 4000ch)
- Software
 - 予想データレート ~ 3–30 TB/day (charmの実験、圧縮前)
 - 候補: DAQ-Middleware?
 - ハードウェアトリガーなしというのはどうか?
 - O(100) Gbpsの回線とデータを1/1000以下に削減するためのCPU farm

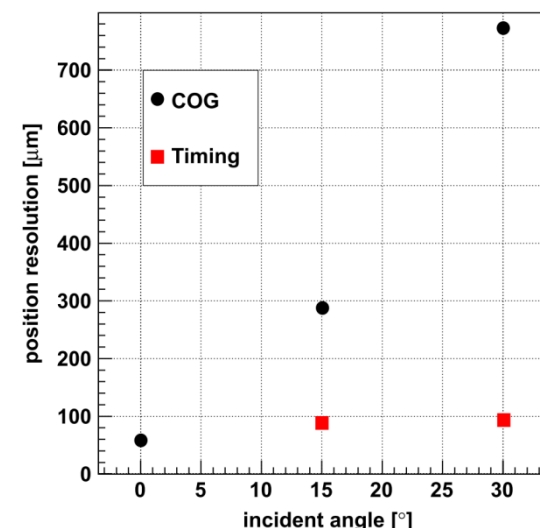
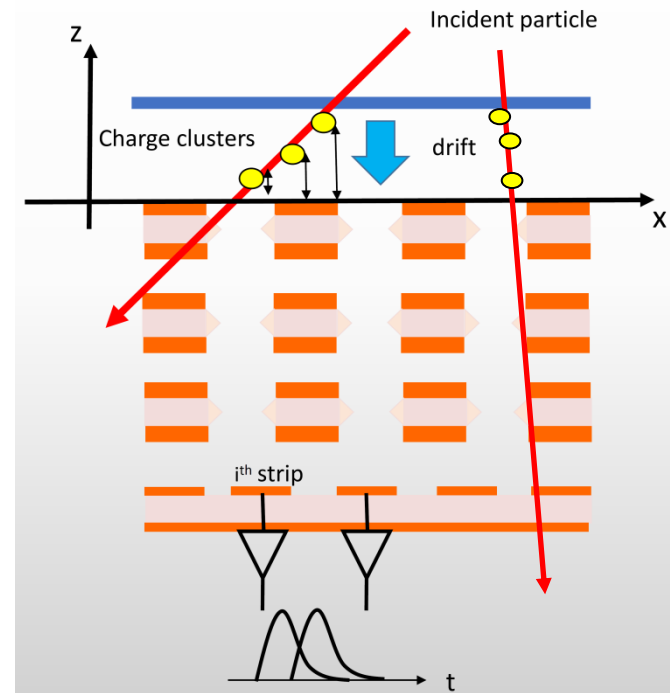
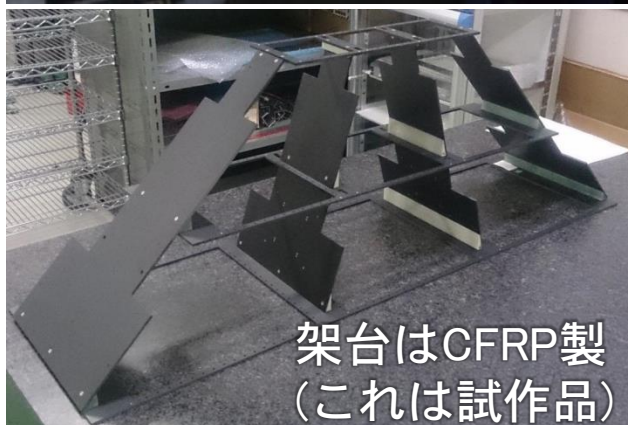
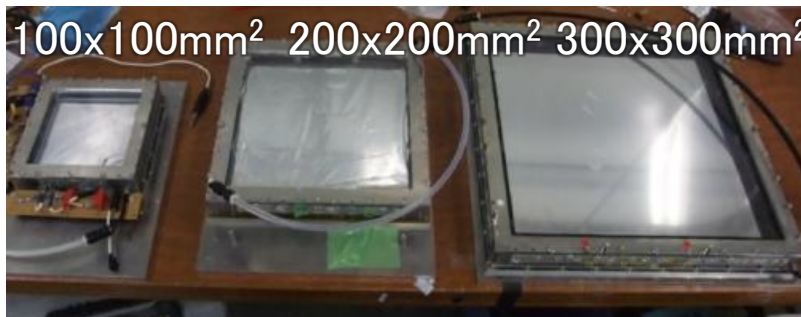
Summary

- J-PARC E16実験
 - ベクターメソンの核内質量変化を系統的に測定
 - ハドロン質量生成機構・QCD真空の性質の解明に貢献
 - high-p beam line $10^{10}/\text{sec}$ の大強度ビームを使用 (2 sec. beam-on/6 sec. cycle)
 - 2016年実験開始 (最初は検出器1/3, 段階的に増設)
- 計測システムのR&D
 - 読み出し回路: 電荷情報・時間情報の取得およびパイルアップ除去のため波形を記録
 - GTR (~56000 ch), HBD (~36000 ch)
 - APV25, CERN RD51 SRSを使用
 - 256ch APV cardの開発
 - LG ~1000 ch
 - DRS4を使ったADCの開発
 - トリガー回路: ~ 2600 chのトリガーセグメントから来る信号のTDC情報(LSB 4 ns以下)を高速光通信で集約し、遅いベクターメソンの e^+e^- 崩壊事象を判定
 - Belle2の汎用ロジック回路(Belle2 UT3)およびクロック・トリガー分配回路(FTSW)を使用
 - GEM foil信号用ASD ASICの開発
 - Trigger merger boardの開発
 - DAQ-Middlewareによるデータ読み出し trigger rate 1–2kHz, 660MB/spill
- 今後の課題
 - 各要素の統合
 - 高レートでのテスト
 - トリガーロジックの開発
 - 回路の量産・品質検査
 - LG読み出し用DAQ component開発
 - 検出器のアライメント,
 - HV, LV, gas flow, …の制御・監視システムの開発, etc. …
- J-PARC E50実験
 - チャームドバリオン励起状態の精密測定を通して、ダイクォーク自由度の検証・ダイクォーク相関を研究
 - 2019年 実験開始予定
 - Fiber tracker 9200ch, Wire chamber 7500ch, RICH 10000ch, TOF 500ch
 - trigger rate 10–80kHz, data rate: 0.2–2GB/spill (rough estimation for charm tagged events)
 - 検討中 . . .

back up

GEM tracker (GTR)

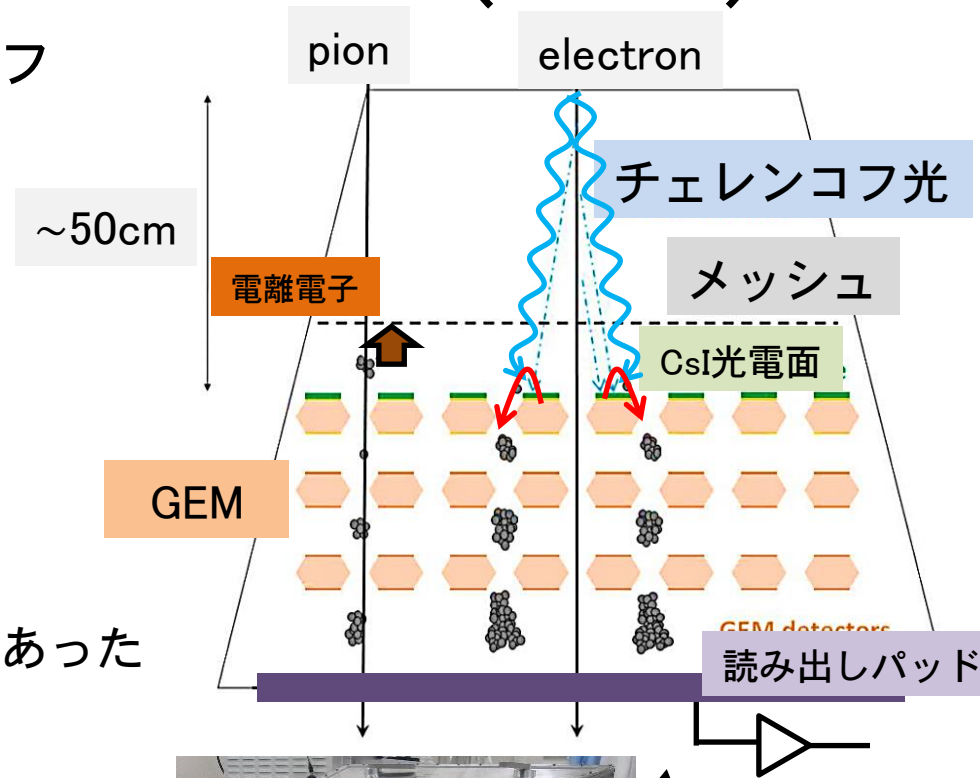
- gas: Ar CO₂ 70/30
- hole diameter: Copper/Kapton: 65/35 μm
- hole pitch: 140 μm
- strip pitch: X 350 μm , Y 1400 μm
- hit rate: max. 5 kHz/mm²
- 大きさ3種類
- 低物質量: トラッカー3層で0.75% X_0
- 入射角30°まで $\sigma_x < 100 \mu\text{m}$ を達成 (timing法)



Y. Komtasu et al.,
NIM A732,241(2013)

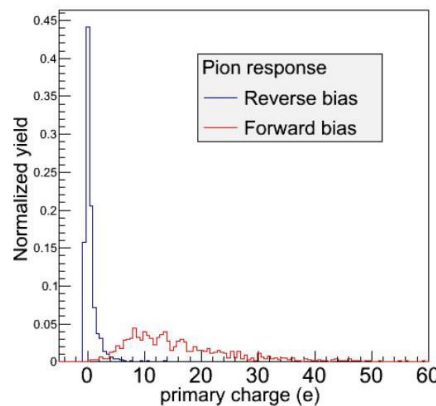
Hadron Blind Detector (HBD)

- 低物質量な閾値型ガスチエレンコフ
 - window less, mirror less
- 輻射体: pure CF_4
 - pion threshold: 4 GeV/c
- CsI photocathode
- reverse bias
 - 電離電子
 - 信号が小さい, 広がらない
 - 光電子
 - 信号が大きい, 広がる
 - onlineでは波高で識別
 - offlineではクラスターサイズ(hitのあったpad数)も使う

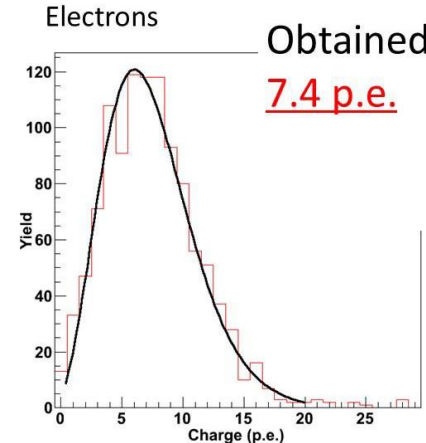


beam test(1 GeV/c π^- & e^-) @ J-PARC K1.1BR

Pions



Electrons



Obtained
7.4 p.e.



~60cm

K. Aoki et al., NIM A628, 300(2011)

K. Kanno, IEEE NSS/MIC Conf. Rec. (2013)

Leadglass EM calorimeter (LG)

- TOPAZ, KEK-PS E362(K2K)実験で使われた LGを改造
 - hit rateを下げるために分割
- PMT約800本はBelle ACCの3 inch fine-mesh PMT(Hamamatsu R6683)に付け替えを予定
 - 強磁場対策

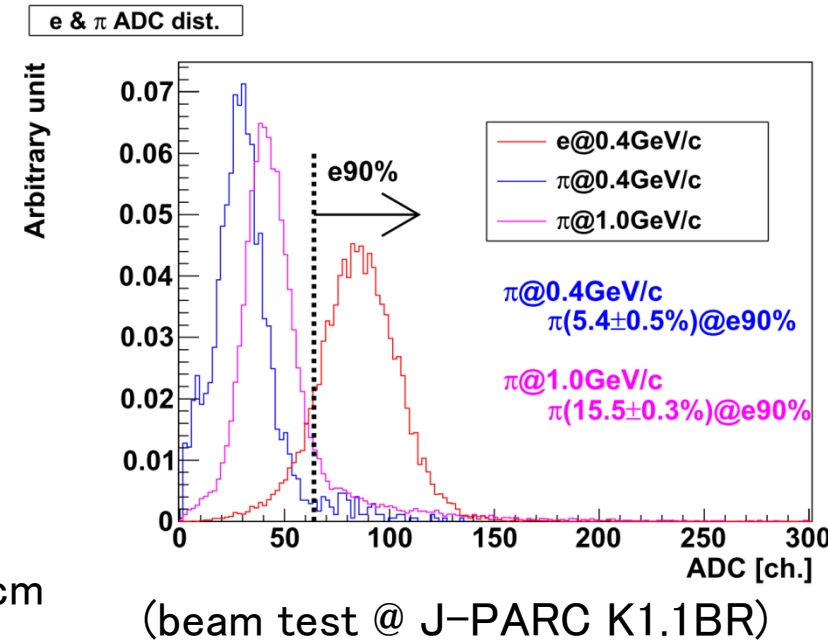
鉛ガラス(SF6W)の諸元

S. Kawabata et al., NIM A270, 11(1988)

parameter	value
Radiation length	1.69 cm
Refractive index	1.805
E_c	12.6 MeV
RM	2.8 cm
Density	5.20 g/cm ³



↔ ~10cm



SRS (ATCA)

ATCA blade (Virtex6 130T + DDR3-RAM slot x2)

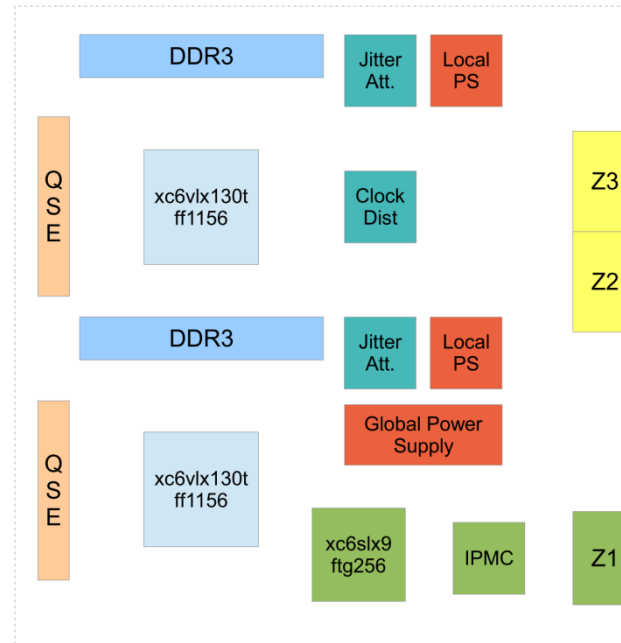
+ 2 HDMI mezzanine cards (24 ADC channel/mezzanine)

+ Rear Transition Module

SRS-ATCA blade



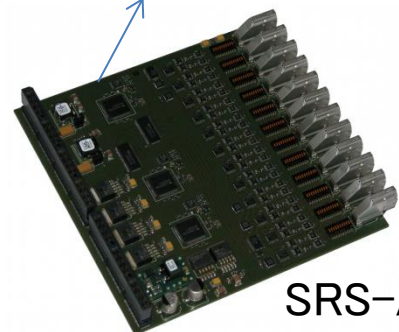
48 APV = 6144 ch can be read by 1 SRS-ATCA blade.



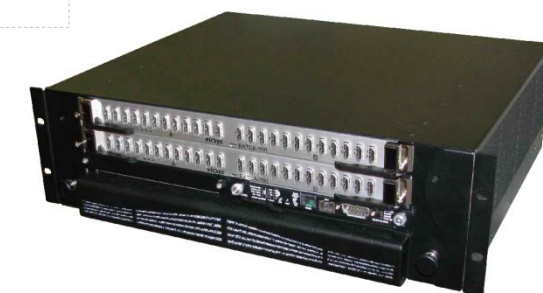
ATCA full crate



SRS-ATCA RTM



SRS-ATCA HDMI mezzanine



2-slot crate